

INSTITUTO SUPERIOR TÉCNICO

MESTRADO INTEGRADO EM ENGENHARIA ELECTROTÉCNICA E DE
COMPUTADORES

ARQUITECTURAS AVANÇADAS DE COMPUTADORES

**Descrição do processador μ Risc a funcionar em
*pipeline***

Guilherme Branco Teixeira	n.º 70214
Maria Margarida Dias dos Reis	n.º 73099
Nuno Miguel Rodrigues Machado	n.º 74236

Lisboa, 10 de Maio 2015

Índice

1	Introdução	1
2	Conflitos associados a uma arquitectura <i>pipeline</i>	1
2.1	Conflitos estruturais	1
2.2	Conflitos de dados	1
2.3	Conflitos de controlo	1
3	Métodos de resolução de conflitos	1
3.1	Conflitos de dados	1
3.2	Conflitos de controlo	2
4	Estrutura do processador	2
5	Testes de <i>performance</i>	2
5.1	Efeitos de <i>forwarding</i> de dados	3
5.2	Efeitos de BTB	3
5.3	Efeitos de <i>branch prediction</i>	4
6	Conclusões	4
7	Anexos	5

1 Introdução

Com este trabalho laboratorial pretende-se projectar um processador μ Risc com funcionamento em *pipeline*. O processador possui 4 andares de *pipelining*: no primeiro andar é feito o *instruction fetch* (IF), no segundo andar é feito o *instruction decode* (ID) e o *operand fetch* (OF), no terceiro andar são executadas operações da ALU (EX) e de acesso à memória de dados (MEM) e, por fim, no quarto é feita a escrita no banco de registos, o *write back* (WB). Com o funcionamento em *pipelining* podem ocorrer dois tipos de conflitos - de dados (*data hazards*) e de controlo (*control hazards*).

2 Conflitos associados a uma arquitectura *pipeline*

2.1 Conflitos estruturais

2.2 Conflitos de dados

Um conflito de dados surge quando uma instrução depende dos resultados de uma instrução anterior, de forma a afectar o resultado obtido pela linha de processamento.

- *Read After Write* (RAW): ocorre quando uma instrução precisa de ler um valor que ainda não foi escrito na memória, pois pertence a uma instrução anterior que ainda não escreveu no seu registo de destino;
- *Write After Read* (WAR): ocorre quando uma instrução necessita de escrever num registo, numa altura em que a instrução anterior ainda não leu o valor desse registo e necessita;
- *Write After Write* (WAW): ocorre quando duas operações necessitam de escrever no mesmo registo ao mesmo tempo ou numa ordem incorrecta;

melhor intro,
explicar o que
é um conflito
de dados

No processador μ Risc a projectar apenas ocorrem conflitos do tipo RAW. De facto, os conflitos do tipo WAR e do tipo WAW não ocorrem no nosso processador, pois não existe qualquer tipo de *bypassing* entre os seus andares, mantendo sempre a ordem das instruções intacta.

2.3 Conflitos de controlo

Um conflito de controlo surge quando uma instrução de controlo condicional depende dos resultados de uma instrução anterior, de uma forma a impedir uma predição correcta.

nao impede a
prediccao

3 Métodos de resolução de conflitos

3.1 Conflitos de dados

- Solução 1: bloqueio dos andares do *pipeline*, *stall*, até que os dados correctos estejam disponíveis;
- Solução 2: se o dado correcto existir algures no *pipeline*, estabelece-se um *bypass* para o andar correcto, aplicando a técnica de *forwarding*;

- Solução 3: escalonar/reordenar as instruções - se a ordenação for feita pelo compilador tem-se um escalonamento estático e se for feita por *hardware* é um escalonamento dinâmico;

Analisando as soluções apresentadas verificou-se que o escalonamento estático e dinâmico não seria a solução desejada devido a complexidade para um processador de 4 andares comparativamente às outras anteriores. Ponderou-se inicialmente a utilização de *stalls* devido à facilidade de implementação mas devido ao inconveniente de reduzir o número médio de instruções por ciclo, optou-se pela segunda solução de forma a aumentar o número médio de instruções por ciclo como também a complexidade de implementação.

3.2 Conflitos de controlo

- Solução 1: BTB, uma tabela que contém informação sobre os saltos de forma a prever se estes são *taken* ou *not-taken*, previsão esta que é realizada por uma BPB (composta por 1 ou 2 bits), diminuindo assim o número de ciclos desperdiçados em instruções do tipo controlo;
- Solução 2: *forwarding* de flags, após se obter o resultado necessário para a predição, estabelece-se um bypass para verificar a condição do salto;

4 Estrutura do processador

5 Testes de *performance*

Após o projecto do processador estar concluído procede-se à fase de testes. As métricas utilizadas foram: a frequência obtida com base no caminho crítico, o número de ciclos de execução até que o programa corra por completo, o tempo de execução e o número de predicções falhadas por parte da BTB. Na tabela seguinte encontram-se os resultados obtidos para os três testes fornecidos.

Tabela 1: *Performance* obtida para os diversos testes com o processador demonstrado na aula.

Processador Demonstrado	Frequência [MHz]	Número de Ciclos de Execução	Número de Predicções Falhadas	Tempo de Excução [μ s]
Teste #1	183,169	57	0	0,3112
Teste #2	183,169	2358	108	12,8734
Teste #3	183,169	1058	122	5,7761

Para se perceber melhor a influência que os métodos utilizados têm no desempenho do processador foram realizados vários testes para o processador projectado (Processador #1) e outros três processadores diferentes, cada processador apresenta diferentes combinações de métodos usados para corrigir os conflitos de dados e controlo, tal como se pode observar na Tabela 2.

Tabela 2: Diversas topologias do processador que foram testadas.

Processador #1	com <i>forwarding</i> de dados e BTB
Processador #2	sem <i>forwarding</i> de dados, com NOPS e com BTB
Processador #3	com <i>forwarding</i> de dados e sem BTB
Processador #4	sem <i>forwarding</i> de dados e sem BTB

Tabela 3: Resultados obtidos para o teste#1.

Teste #1	Frequência [MHz]	Número de Ciclos de Execução	Número de Predições Falhadas	Tempo de Excução [μs]
Processador #1	211,338	57	0	0,2697
Processador #2	211,338	114	0	0,5394
Processador #3	285,608	57	0	0,1996
Processador #4	285,608	114	0	0,3991

Tabela 4: Resultados obtidos para o teste#2.

Teste #2	Frequência [MHz]	Número de Ciclos de Execução	Número de Predições Falhadas	Tempo de Excução [μs]
Processador #1	211,338	2358	108	11,1575
Processador #2	211,338	3044	108	14,4035
Processador #3	285,608	2705	463	9,4710
Processador #4	285,608	3323	463	11,6348

Tabela 5: Resultados obtidos para o teste#3.

Teste #3	Frequência [MHz]	Número de Ciclos de Execução	Número de Predições Falhadas	Tempo de Excução [μs]
Processador #1	211,338	1058	122	5,0062
Processador #2	211,338	1582	122	7,4856
Processador #3	285,608	1123	187	3,9320
Processador #4	285,608	1647	187	5,7666

Em análise aos resultados dos três testes realizados (Tabelas 3, 4 e 5), foi possível tirar as seguintes conclusões em relação ao *forwarding* de dados e à BTB.

5.1 Efeitos de *forwarding* de dados

Ao observar as características dos quatro processadores, percebe-se que é comparando os resultados entre os processadores #1 e #2 e também entre os processadores #3 e #4 que se consegue avaliar os efeitos de usar *forwarding* de dados.

Em relação ao primeiro teste (Tabela 3), foi possível estabelecer um *speed.up* de exactamente 2. Em relação ao segundo teste (Tabela 4) os *speed.up*'s alcançados foram de 1.291 e de 1.228, enquanto que no terceiro teste (Tabela 5) foram alcançados *speed.up*'s de 1.495 e de 1.467. Como nos três testes, tal como esperado, utilizar o método de *forwarding de dados* influenciou a frequência dos processadores, podemos admitir que este método obtém resultados muito positivos.

5.2 Efeitos de *branch prediction*

Ao observar as características dos quatro processadores, percebemos que é comparando os resultados entre os processadores #1 e #3 e também entre os processadores #2 e #4 que conseguimos avaliar os efeitos de usar uma BTB.

No primeiro teste (Tabela 3) foi possível observar que nem sempre é positivo ter uma BTB, pois esta aumenta o tempo do caminho crítico, diminuindo assim a frequência do processador, e caso o teste não tenha saltos, o que se observa é um *speed.up* menor que '1'.



Em relação ao segundo teste (Tabela 4), foi possível verificar que um processador com uma BTB, embora mais lento, apenas falhou apenas 23.3% das predições, e que no terceiro teste falhou 65.2% das predições. No caso destes dois testes, este aumento de precisão não se transfigurou num tempo de execução menor, no entanto, caso o teste fosse mais extenso seria possível observar um tempo de execução menor para um processador com *branch prediction*.

6 Conclusões

7 Anexos

Em anexo ao relatório encontra-se o código VHDL que implementa o processador em regime de *pipeline*.

Todo list

	melhor intro, explicar o que e um conflito de dados	1
	nao impede a prediccao	1